

# Мультикритическое поведение неупорядоченных систем с двумя параметрами порядка

© В.В. Прудников, П.В. Прудников, А.А. Федоренко

Омский государственный университет,  
644077 Омск, Россия  
E-mail: prudnikov@univer.omsk.su

(Поступила в Редакцию 10 февраля 1999 г.  
В окончательной редакции 14 мая 1999 г.)

Проведено теоретико-полевое описание фазовых превращений в неупорядоченных системах с двумя взаимодействующими параметрами порядка. Непосредственно для трехмерных систем в двухпетлевом приближении с применением техники суммирования Паде–Бореля проведен анализ ренорм-групповых функций, выделены фиксированные точки, соответствующие устойчивому мультикритическому поведению. Исследовано влияние точечных замороженных примесей на характер фазовых диаграмм систем.

Существует широкий класс систем [1,2], в которых наблюдаемый фазовый переход не может быть описан одним параметром порядка, преобразующимся по одному неприводимому представлению. Фазовые диаграммы подобных систем имеют особую мультикритическую точку, носящую бикритический или тетракритический характер. В первом случае в ней пересекаются две линии фазовых переходов II рода и одна линия фазового перехода I рода, во втором — четыре линии фазовых переходов II рода. В непосредственной окрестности мультикритической точки система демонстрирует специфическое критическое поведение, характеризующееся конкуренцией типов упорядочения. При этом если реализуется бикритическое поведение, то в системе происходит вытеснение одного параметра порядка другим, в то время как тетракритическое поведение допускает существование смешанной фазы с сосуществующими обоими типами упорядочения.

Модельный гамильтониан системы с двумя связанными параметрами порядка  $\phi$  и  $\psi$ , принадлежащими двум различным неприводимым представлениям размерности  $n$  и  $m$ , имеет вид

$$\begin{aligned} \mathcal{H}_0 = \int d^d x & \left( \frac{1}{2} \left[ r_1 \phi^2 + r_2 \psi^2 + (\nabla \phi)^2 + (\nabla \psi)^2 \right] \right. \\ & \left. + \frac{u_{10}}{4!} (\phi^2)^2 + \frac{u_{20}}{4!} (\psi^2)^2 + \frac{2u_{30}}{4!} \phi^2 \psi^2 \right), \\ \phi^2 = \sum_{i=1}^n \phi_i^2, \quad \psi^2 = \sum_{i=1}^m \psi_i^2, \\ (\nabla \phi)^2 = \sum_{i=1}^n (\nabla \phi_i)^2, \quad (\nabla \psi)^2 = \sum_{i=1}^m (\nabla \psi_i)^2. \end{aligned} \quad (1)$$

Анализ проблемы фазового перехода в такой системе был проведен в работах [3,4] в рамках метода  $\epsilon$ -разложения в однопетлевом приближении. Недавно с целью уточнения зависимости характер мультикритического поведения от структуры параметров порядка нами в работе [5] было проведено теоретико-полевое описание непосредственно трехмерной системы, описываемой гамильтонианом (1), в рамках двухпетлевого приближения

без использования  $\epsilon$ -разложения. Исследования критических явлений показывают [6], что такой подход наиболее адекватно описывает критическое поведение и его применение в высокопетлевом приближении совместно с методами суммирования асимптотически сходящихся рядов позволяет достигать высокой точности результатов. В [5] был осуществлен анализ ренорм-групповых функций в двухпетлевом приближении с применением техники суммирования Паде–Бореля, выделены фиксированные точки, соответствующие устойчивому бикритическому и тетракритическому поведению. Выявленное в [5] существенное изменение значений координат фиксированных точек и условий их стабильности по сравнению с [3,4] вызывает заметное изменение фазовых диаграмм в критической области, а также приводит к другим видам симметрии системы в мультикритической точке.

Проведем исследование влияния точечных замороженных примесей на мультикритическое поведение системы с двумя взаимодействующими параметрами порядка. Известно [7], что неупорядоченность системы, создаваемая присутствием замороженных примесей, проявляется в виде случайных возмущений локальной критической температуры или в виде случайных полей. Благодаря тому что случайное поле нарушает симметрию системы по отношению к изменению знака параметра порядка, статистические свойства этих неупорядоченных систем существенно отличаются. Ферро- и антиферромагнитные системы, содержащие немагнитные атомы примеси в отсутствие внешнего магнитного поля, могут служить примером неупорядоченных систем с возмущением типа случайной критической температуры, в то время как в однородном магнитном поле присутствие немагнитных атомов примеси в анизотропных антиферромагнетиках проявляется в виде случайных полей [8]. В данной работе исследуется мультикритическое поведение систем с беспорядком типа случайной температуры. Подобное поведение может реализоваться в неупорядоченных системах, в которых, как в MnAs [9], последовательность фазовых переходов описывается введением двух взаимодействующих параметров порядка различной природы,

соответствующих структурному и ферромагнитному фазовым переходам, или в XY-подобных антиферромагнетиках типа  $\text{Cr}_2\text{TeO}_6$ ,  $\text{KCuF}_3$  и т.д. [10], в которых мультикритическая точка возникает при нулевом значении внешнего магнитного поля. В ряде случаев описание мультикритического поведения неупорядоченных бинарных сплавов, состоящих из магнитных атомов двух сортов со смешанным обменным взаимодействием, может соответствовать введению беспорядка типа случайной критической температуры в системе со связанными параметрами порядка [11,12].

Ранее исследование влияния неупорядоченности типа случайной температуры на мультикритическое поведение системы уже проводилось в работах [11–13] в рамках метода  $\varepsilon$ -разложения в однопетлевом приближении. Однако на примере однородной системы в [5] наглядно было показано слабое соответствие предсказаний однопетлевого приближения реальному мультикритическому поведению. В случае неупорядоченных систем можно ожидать еще более существенных отличий, на что указывают исследования неупорядоченных систем, характеризующихся одним параметром порядка [14,15]. Для неупорядоченных изингоподобных систем в однопетлевом приближении возникает случайное вырождение в системе ренорм-групповых уравнений для вершин взаимодействия [16]. Это не позволяет в данном приближении исследовать поведение единственного класса неупорядоченных систем, в которых присутствие примеси реально сказывается на характеристиках их критического поведения. В данной работе предлагаются результаты применения теоретико-полевого подхода в двухпетлевом приближении непосредственно для трехмерных систем.

Гамильтониан системы с двумя взаимодействующими параметрами порядка, содержащей замороженные примеси типа случайной температуры, может быть представлен в виде

$$\mathcal{H}[\phi, \psi] = \mathcal{H}_0[\phi, \psi] + \mathcal{H}_{\text{imp}}[\phi, \psi], \quad (2)$$

где  $\mathcal{H}_0[\phi, \psi]$  — гамильтониан однородной системы (1), а слагаемое  $\mathcal{H}_{\text{imp}}[\phi, \psi]$ , задающее взаимодействие примесей с флуктуациями параметров порядка, может быть определено как

$$\mathcal{H}_{\text{imp}}[\phi, \psi] = \frac{1}{2} \int d^d x [V_1(x)\phi^2 + V_2(x)\psi^2]. \quad (3)$$

Здесь  $V_i(x)$  — потенциалы случайного поля примесей с гауссовым распределением, корреляторы которых в случае точечных примесей определяются выражениями

$$\begin{aligned} \langle\langle V_1(x) \rangle\rangle &= 0, \quad \langle\langle V_1(x) V_1(x') \rangle\rangle = -u_{40}\delta(x-x'), \\ \langle\langle V_2(x) V_2(x') \rangle\rangle &= -u_{50}\delta(x-x'), \\ \langle\langle V_1(x) V_2(x') \rangle\rangle &= -u_{60}\delta(x-x'). \end{aligned} \quad (4)$$

Применение метода реплик позволяет легко провести усреднение по случайному распределению примесей и

свести задачу статистического описания слабонеупорядоченной системы к задаче статистического описания однородной системы с эффективным гамильтонианом

$$\begin{aligned} \mathcal{H}_{\text{repl}}[\phi, \psi] &= \sum_{\alpha=1}^k \mathcal{H}_0[\phi_\alpha, \psi_\alpha] + \frac{1}{2} \sum_{\alpha=1}^k \sum_{\beta=1}^k \left[ u_{40}\phi_\alpha^2\phi_\beta^2 \right. \\ &\quad \left. + u_{50}\psi_\alpha^2\psi_\beta^2 + 2u_{60}\phi_\alpha^2\psi_\beta^2 \right], \end{aligned} \quad (5)$$

содержащим  $k$  образов ("реплик") исходной однородной составляющей  $\mathcal{H}_0$  и ряд дополнительных слагаемых с примесными вершинами  $u_{40}$ ,  $u_{50}$ ,  $u_{60}$ , которые задают эффективное взаимодействие через поле примесей ( $k \times n$ ) и ( $k \times m$ ) — компонентных параметров порядка. Данная статистическая модель термодинамически эквивалентна исходной неупорядоченной модели в пределе  $k \rightarrow 0$ .

Как известно, в рамках теоретико-полевого подхода [17] асимптотическое критическое поведение и структура фазовых диаграмм во флуктуационной области определяется ренорм-групповым уравнением Каллана–Симанчика для вершинных частей неприводимых функций Грина. Для вычисления  $\beta$ -функций (ренорм-групповых), как функций перенормированных вершин взаимодействия  $u_i$  ( $i = 1, \dots, 6$ ), входящих в ренорм-групповое уравнение, мы применили стандартный метод, основанный на диаграммной технике Фейнмана и процедуре перенормировки [18]. В результате в рамках двухпетлевого приближения мы получили следующие выражения для  $\beta$ -функций:

$$\begin{aligned} \beta_1(u) &= -u_1 + \frac{(n+8)}{6}u_1^2 + \frac{m}{6}u_3^2 + 24u_1u_4 - \frac{(41n+190)}{243}u_1^3 \\ &\quad - \frac{2m}{27}u_3^3 - \frac{23m}{243}u_1u_3^2 - \frac{184m}{81}u_1u_3u_6 - \frac{16m}{9}u_3^2u_6 \\ &\quad - \frac{(400n+2096)}{81}u_1^2u_4 - \frac{5920}{27}u_1u_4^2 - \frac{8m}{9}u_3^2u_4, \\ \beta_2(u) &= -u_2 + \frac{(m+8)}{6}u_2^2 + \frac{n}{6}u_3^2 + 24u_2u_5 - \frac{(41m+190)}{243}u_2^3 \\ &\quad - \frac{2n}{27}u_3^3 - \frac{23n}{243}u_2u_3^2 - \frac{184n}{81}u_2u_3u_6 - \frac{16n}{9}u_3^2u_6 \\ &\quad - \frac{(400m+2096)}{81}u_2^2u_5 - \frac{5920}{27}u_2u_5^2 - \frac{8n}{9}u_3^2u_5, \\ \beta_3(u) &= -u_3 + \frac{2}{3}u_3^2 + \frac{(n+2)}{6}u_1u_3 + \frac{(m+2)}{6}u_2u_3 + 4u_3u_4 \\ &\quad + 4u_3u_5 + 16u_3u_6 - \frac{5(n+m)+72}{486}u_3^3 \\ &\quad - \frac{23(n+2)}{486}u_1^2u_3 - \frac{23(m+2)}{486}u_2^2u_3 - \frac{(n+2)}{9}u_1u_3^2 \\ &\quad - \frac{(m+2)}{9}u_2u_3^2 - \frac{20(n+m)+432}{81}u_3^2u_6 \\ &\quad - \frac{8(n+3)}{9}u_3^2u_4 - \frac{8(m+3)}{9}u_3^2u_5 - \frac{368}{27}u_3u_4^2 \\ &\quad - \frac{368}{27}u_3u_5^2 - \frac{92(n+2)}{81}u_1u_3u_4 - \frac{92(m+2)}{81}u_2u_3u_5 \\ &\quad - \frac{8(n+2)}{3}u_1u_3u_6 - \frac{8(m+2)}{3}u_2u_3u_6 - 64u_3u_6^2 \\ &\quad - 64u_3u_4u_6 - 64u_3u_5u_6, \end{aligned}$$

Значения фиксированных точек неупорядоченной системы и собственных значений матрицы устойчивости

$n$	$m$	$u_1^*$	$u_2^*$	$u_3^*$	$u_4^*$	$u_5^*$	$u_6^*$	$b_i (i = 1, \dots, 6)$
1	1	1.58892	1.58892	0	-0.03448	-0.03448	0	0.4612 ± 0.222i, 0.0362, 0.4612 ± 0.222i, 0.0362
1	2	1.58892	0.93832	0	-0.03448	-0.00026	0	0.4612 ± 0.222i, 0.0183, 0.0183, 0.6671, 0.0017
1	2	1.58892	0.93498	0	-0.03448	0	0	0.4612 ± 0.222i, 0.0172, 0.0172, 0.6673, -0.0017
1	3	1.58892	0.82962	0	-0.03448	0	0	0.4612 ± 0.222i, 0.0834, 0.0834, 0.1315, 0.6814
1	3	1.58892	1.28357	0	-0.03448	-0.07098	0	0.4612 ± 0.222i, 0.3266, 0.3266, 5.9782, -3.1324
2	2	0.93832	0.93832	0	-0.00026	-0.00026	0	0.6671, 0.0017, 0.0017, 0.0005, 0.0005, 0.6671
2	2	0.93498	0.93498	0	0	0	0	0.6673, -0.0017, -0.0017, -0.0017, -0.0017, 0.6673
2	3	0.93832	0.82962	0	-0.00026	0	0	0.6671, 0.0017, 0.0659, 0.0659, 0.1315, 0.6814
2	3	0.93498	0.82962	0	0	0	0	0.6673, -0.0017, 0.1315, 0.6814, 0.0648, 0.0648
3	3	0.82962	0.82962	0	0	0	0	0.6814, 0.1315, 0.1315, 0.6814, 0.1315, 0.1315

$$\beta_4(u) = -u_4 + 16u_4^2 + \frac{n+2}{3}u_1u_4 + \frac{m}{3}u_3u_6 - \frac{3040}{27}u_4^3$$

$$- \frac{2m}{27}u_3^2u_6 - \frac{8m}{3}u_3u_6^2 - \frac{400(n+2)}{81}u_1u_4^2$$

$$- \frac{23(n+2)}{243}u_1^2u_4 - \frac{5m}{243}u_3^2u_4 - \frac{184m}{81}u_3u_4u_6,$$

$$\beta_5(u) = -u_5 + 16u_5^2 + \frac{m+2}{3}u_2u_5 + \frac{n}{3}u_3u_6 - \frac{3040}{27}u_5^3$$

$$- \frac{2n}{27}u_3^2u_6 - \frac{8n}{3}u_3u_6^2 - \frac{400(m+2)}{81}u_2u_5^2$$

$$- \frac{23(m+2)}{243}u_2^2u_5 - \frac{5n}{243}u_3^2u_5 - \frac{184n}{81}u_3u_5u_6,$$

$$\beta_6(u) = -u_6 + 8u_6^2 + \frac{(n+2)}{6}u_1u_6 + \frac{(m+2)}{6}u_2u_6$$

$$+ \frac{n}{6}u_3u_4 + \frac{m}{6}u_3u_5 + 4u_4u_6 + 4u_5u_6 - \frac{64}{3}u_6^3$$

$$- \frac{4(n+2)}{3}u_1u_6^2 - \frac{4(m+2)}{3}u_2u_6^2 - \frac{23(n+2)}{486}u_1^2u_6$$

$$- \frac{23(m+2)}{486}u_2^2u_6 - \frac{368}{27}u_4^2u_6 - \frac{368}{27}u_5^2u_6 - 32u_4u_6^2$$

$$- 32u_5u_6^2 - \frac{n}{27}u_3^2u_4 - \frac{4n}{9}u_3u_4^2 - \frac{m}{27}u_3^2u_5$$

$$- \frac{4m}{9}u_3u_5^2 - \frac{5(n+m)}{486}u_3^2u_6 - \frac{20(n+m)}{81}u_3u_6^2$$

$$- \frac{92(n+2)}{81}u_1u_4u_6 - \frac{92(m+2)}{81}u_2u_5u_6$$

$$- \frac{16n}{9}u_3u_4u_6 - \frac{16m}{9}u_3u_5u_6. \quad (6)$$

Известно, что ряды теории возмущений являются асимптотически сходящимися, а вершины взаимодействия флуктуаций параметров порядка во флуктуационной области  $r_1, r_2 \rightarrow 0$  достаточно велики, чтобы можно было непосредственно применять выражения (6). Поэтому с целью извлечения из полученных выражений нужной физической информации мы применили обобщенный метод Паде–Бореля, используемый для суммирования асимптотически сходящихся рядов. При этом прямое и обратное преобразования Бореля, обобщенные на шестипараметрический случай, имеют вид

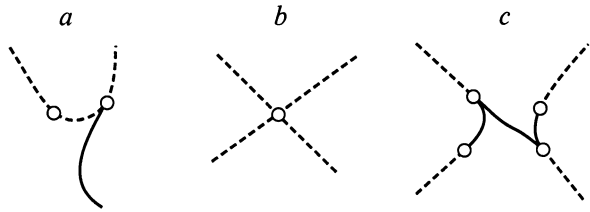
$$f(u_1, \dots, u_6) = \sum_{i_1, \dots, i_6} c_{i_1, \dots, i_6} u_1^{i_1} u_2^{i_2} u_3^{i_3} u_4^{i_4} u_5^{i_5} u_6^{i_6} \\ = \int_0^\infty e^{-t} F(u_1 t, \dots, u_6 t) dt,$$

$$F(u_1, \dots, u_6) = \sum_{i_1, \dots, i_6} \frac{c_{i_1, \dots, i_6}}{(i_1 + \dots + i_6)} u_1^{i_1} u_2^{i_2} u_3^{i_3} u_4^{i_4} u_5^{i_5} u_6^{i_6}. \quad (7)$$

Для аналитического продолжения борелевского образа функции вводится ряд по вспомогательной переменной  $\lambda$

$$F(u_1, \dots, u_6, \lambda) = \sum_{k=0}^\infty \lambda^k \sum_{i_1, \dots, i_6} \frac{c_{i_1, \dots, i_6}}{k!} \\ \times u_1^{i_1} u_2^{i_2} u_3^{i_3} u_4^{i_4} u_5^{i_5} u_6^{i_6} \lambda_{i_1 + \dots + i_6, k}, \quad (8)$$

к которому применяется аппроксимация Паде  $[L/M]$  в точке  $\lambda = 1$ . Данная техника была предложена и апробирована в работах [19] для описания критического поведения ряда систем, характеризующихся несколькими вершинами взаимодействия флуктуаций параметра порядка. Выявленное в [19] свойство сохранения симметрии



Возможные типы фазовых диаграмм. Сплошные линии соответствуют кривым фазовых переходов I рода, штриховые — переходам II рода.

системы в процессе применения Паде-аппроксимант по переменной  $\lambda$  становится существенным при описании многовершинных моделей.

В двухпетлевом приближении для вычисления  $\beta$ -функций мы использовали аппроксимант [2/1]. Природа мультикритического поведения определяется существованием устойчивой фиксированной точки, удовлетворяющей системе уравнений

$$\beta_i(u_1^*, u_2^*, u_3^*, u_4^*, u_5^*, u_6^*) = 0 \quad (i = 1, \dots, 6). \quad (9)$$

Требование устойчивости фиксированной точки сводится к условию, чтобы собственные значения  $b_i$  матрицы

$$B_{i,j} = \frac{\partial \beta_i(u_1^*, u_2^*, u_3^*, u_4^*, u_5^*, u_6^*)}{\partial u_j} \quad (10)$$

лежали в правой комплексной полуплоскости.

Полученная система просуммированных  $\beta$ -функций для каждого значения  $n$  и  $m$  содержит широкое разнообразие фиксированных точек. В таблице приведены устойчивые фиксированные точки системы для наиболее физически интересных значений  $n$  и  $m$ , а также ряд неустойчивых в двухпетлевом приближении фиксированных точек, которые будут полезны для последующего анализа. В таблице приведены также собственные значения матрицы устойчивости для соответствующих фиксированных точек.

Анализ характера фиксированных точек и их устойчивости позволяет сделать следующий общий вывод: присутствие примесей в системе приводит к флуктуационному расщеплению связи параметров порядка и осуществлению лишь единственного типа устойчивого мультикритического поведения — тетракритического с общей симметрией системы  $SO(n) \oplus SO(m)$ . При этом в случае однокомпонентных параметров порядка ( $n = m = 1$ ) наличие примесей существенно и приводит к критическому поведению с индексами, соответствующими индексам неупорядоченной модели Изинга [14,15]. Что касается случаев с  $n = 1, m = 2$ ,  $n = 2, m = 2$ , хотя проведенные расчеты и показывают, что стабильна фиксированная точка с отличными от нуля значениями примесных вершин  $u_4^*, u_5^*$  для обоих параметров порядка, мы склонны считать, что в более высоких порядках приближения стабильной становится точка, в которой при общем эффекте расщепления связи

параметров порядка значения примесных вершин лишь для однокомпонентных параметров порядка отличны от нуля. Указанием на это, с одной стороны, может служить слабая устойчивость фиксированных точек первого типа при слабой неустойчивости фиксированных точек второго типа, с другой стороны, аналогичная ситуация возникает при анализе влияния примесей на критическое поведение систем с одним параметром порядка в двухпетлевом приближении [14,20]. В случаях с  $n, m \geq 3$  устойчива только однородная фиксированная точка, совпадающая с точкой типа 3 однородной системы [5] и имеющая тетракритический характер. Таким образом, когда параметры порядка системы характеризуются числом компонент большим или равным двум, присутствие примесей не сказывается на характеристиках их критического поведения, а мультикритическое поведение носит тетракритический характер. Из-за того что для систем с двумя параметрами порядка присутствие примесей привело к существенному ограничению на возможные типы устойчивых фиксированных точек, заметно изменяется по сравнению с однородными системами и число видов возможных фазовых диаграмм. Принципиальный момент изменения связан с тем, что в неупорядоченных системах не может реализоваться фазовая диаграмма, содержащая бикритическую точку. Критические флуктуации и флуктуации локальной критической температуры для взаимодействующих полей в неупорядоченных системах, затравочные значения вершин которых удовлетворяют условию бикритичности  $u_{30}^2 \geq u_{10}u_{20}$  [5], разрушают как устойчивость бикритического поведения, так и связь параметров порядка. В результате фазовые диаграммы, имеющие бикритический характер за пределами критической области, будут содержать в критической области включения кривых фазовых переходов первого рода с реализацией диаграммы, изображенной на рисунке, *a*. Если же затравочные значения вершин системы удовлетворяют условию тетракритичности  $u_{30}^2 < u_{10}u_{20}$ , то возможны только фазовые диаграммы, изображенные на рисунке, *b* и *c*.

В заключение мы надеемся, что выявленные отличия в мультикритическом поведении однородных и неупорядоченных систем с конкурирующими параметрами порядка найдут свое отражение в постановке и анализе экспериментальных работ по мультикритическому поведению соответствующих систем.

Исследования поддержаны РФФИ (грант № 97-02-16124).

## Список литературы

- [1] К.С. Александров, А.Т. Анистратов, Б.В. Безносиков, Н.В. Федосеева. Фазовые переходы в кристаллах галоидных соединений  $ABX_3$ . Наука, Новосибирск (1981).
- [2] Y. Shapira. In: Multicritical phenomena. Plenum press, London–N.Y. (1984). P. 35.

- [3] И.Ф. Люксютов, В.Л. Покровский, Д.Е. Хмельницкий. *ЖЭТФ* **69**, 5, 1817 (1975).
- [4] J.M. Kosterlitz, D.R. Nelson, M.E. Fisher. *Phys. Rev.* **B13**, 1, 412 (1976).
- [5] В.В. Прудников, П.В. Прудников, А.А. Федоренко. *Письма в ЖЭТФ* **68**, 12, 900 (1998).
- [6] G.A. Baker, B.G. Nickel, M.S. Green, D.I. Meiron. *Phys. Rev. Lett.* **36**, 23, 1351 (1976); J.C. Le Guillou, J. Zinn-Justin. *Phys. Rev. Lett.* **39**, 2, 95 (1977); G.A. Baker, B.G. Nickel, D.I. Meiron. *Phys. Rev.* **B17**, 3, 1365 (1978); J.C. Le Guillou, J. Zinn-Justin. *Phys. Rev.* **B21**, 9, 3976 (1980).
- [7] R.B. Stinchcombe. In: *Phase transitions and critical phenomena* / Ed. by C. Domb, J.L. Lebositz, Acad. Press, N.Y. (1983). V. 7, p. 151.
- [8] S. Fishman, A. Aharony. *J. Phys.* **C12**, L729 (1979).
- [9] В.Е. Найш, Ю.Н. Скрябин, В.Н. Сыромятников. *Физика металлов и металловедение* **52**, 1147 (1981).
- [10] D. Mukamel. *Phys. Rev.* **B14**, 3, 1303 (1976).
- [11] Y.A. Izyumov, Y.N. Skryabin, V.M. Laptev. *Phys. Stat. Sol.* **B87**, 2, 441 (1978).
- [12] В.Ш. Лаптев, Ю.Н. Скрябин. *ФТТ* **22**, 10, 2949 (1980).
- [13] А.А. Лисянский, А.Э. Филиппов. *УФЖ* **32**, 4, 626 (1987).
- [14] G. Jug. *Phys. Rev.* **B27**, 1, 609 (1983).
- [15] I.O. Mayer, A.I. Sokolov, B.N. Shalayev. *Ferroelectrics* **95**, 1, 93 (1989); I.O. Mayer. *J. Phys.* **A22**, 12, 2815 (1989).
- [16] A.B. Harris, T.C. Lubensky. *Phys. Rev. Lett.* **33**, 1540 (1974); T.C. Lubensky. *Phys. Rev.* **B11**, 3573 (1975); Д.Е. Хмельницкий. *ЖЭТФ* **68**, 5, 1960 (1975).
- [17] D. Amit. *Field theory the renormalization group and critical phenomena*. McGraw-Hill, N.Y. (1976).
- [18] J. Zinn-Justin. *Quantum field theory and critical phenomena*. Clarendon Press, Oxford (1989).
- [19] S.A. Antonenko, A.I. Sokolov. *Phys. Rev.* **B49**, 15 901 (1994); К.Б. Варнашев, А.И. Соколов. *ФТТ* **38**, 3665 (1996); A.I. Sokolov, K.B. Varnashev, A.I. Mudrov. *Int. J. Mod. Phys.* **B12**, 1365 (1998).
- [20] В.В. Прудников, А.Н. Вакилов. *ЖЭТФ* **101**, 6, 1853 (1992).